

Gamma-ray Spectrometric Data
 The airborne gamma-ray measurements were made with an Exploranium GR820 gamma-ray spectrometer using ten (C-GFAY and C-FYAU) or fourteen (C-GNCA) 102 x 102 x 400 mm NaI (Tl) crystals. The main detector array consisted of eight (C-GFAY and C-FYAU) or twelve (C-GNCA) crystals (total volume 33.6 litres and 50.4 litres, respectively). Two crystals on all aircraft (total volume 8.4 litres), shielded by the main array, were used to detect variations in background radiation caused by atmospheric radon. The system constantly monitored the natural thorium peak for each crystal, and using a Gaussian least squares algorithm, adjusted the gain for each crystal.

Potassium is measured directly from the 1460 keV gamma-ray photons emitted by K^{40} , whereas uranium and thorium are measured indirectly from gamma-ray photons emitted by daughter products (Bi^{214} for uranium and Pb^{214} for thorium). Although these daughters are far from their respective decay chains, they are assumed to be in equilibrium with their parents; thus gamma-ray spectrometric measurements of uranium and thorium are referred to as equivalent uranium and equivalent thorium, i.e. eU and eTh. The energy windows used to measure potassium, uranium and thorium are, respectively: 1370 - 1570 keV, 1660 - 1860 keV, and 2410 - 2610 keV.

Gamma-ray spectra were recorded at one-second intervals. During processing the spectra were energy calibrated, and the counts were accumulated into the windows described above. Counts from the radon detector were recorded in a 1660 - 1860 keV window and radon at energies greater than 2000 keV was recorded in the cosmic window. The window counts were corrected for dead time, background activity from cosmic radiation, radioactivity of the aircraft and atmospheric radon decay products. The window data were then corrected for spectral scattering in the ground, air and detector. Corrections for deviations from the planned terrain clearance and for variation of temperature and pressure were made prior to conversion to ground concentrations of potassium, uranium and thorium, using factors determined from flights over Breckenridge, Colorado. Calibration factors for potassium, uranium, and thorium were, respectively: 137.63 cpsppm, 16.60 cpsppm, and 7.57 cpsppm for C-GNCA; 79.86 cpsp%, 7.32 cpsppm, and 4.18 cpsppm for C-FYAU; and 4.92 cpsppm for C-GFAY.

Corrected data were filtered and interpolated to a 50 m grid interval. The results of an airborne gamma-ray spectrometer survey represent the average surface concentrations that are influenced by varying amounts of aerosol, overburden, vegetation cover, soil moisture and surface water. As a result the measured concentrations are usually lower than the actual bedrock concentrations. The total air absorbed dose rate in nanograys per hour was produced from measured counts between 400 and 2610 keV.

Magnetic Data
 The magnetic field was sampled 10 times per second using a split-beam cesium vapour magnetometer (sensitivity = 0.005 nT) rigidly mounted to the aircraft. Differences in magnetic values at the intersections of control and traverse lines were computer-analysed to obtain a mutually levelled set of flight-line magnetic data. The levelled values were then interpolated to a 50 m grid. The International Geomagnetic Reference Field (IGRF) defined at the average GPS altitude of 632 m above sea level for the year 2009.5 was then removed. Removal of the IGRF, representing the magnetic field of the Earth's core, produces a residual component related essentially to magnetizations within the Earth's crust.

The first vertical derivative of the magnetic field is the rate of change of the magnetic field in the vertical direction. Computation of the first vertical derivative removes long-wavelength features of the magnetic field and significantly improves the resolution of closely spaced and superposed anomalies. A property of first vertical derivative maps is the coincidence of the zero-value contour with vertical contacts at high magnetic latitudes (Hood, 1965).

References
 Hood, P.J., 1965. Gradient measurements in aeromagnetic surveying. *Geophysics*, v. 30, p. 891-902.

Un levé géophysique aérien combinant l'acquisition de données quantitatives de spectrométrie gamma et de données magnétiques a été réalisé, par la société Fugro Airborne Surveys, au-dessus de Schefferville, dans des régions de Terre-Neuve et Labrador ainsi qu'au Québec. Le levé a été effectué du 24 mai au 30 août 2009, à bord de deux avions Cessna 208B Caravan immatriculés C-GNCA et C-GFAY ainsi qu'un avion Cessna 404 Titan immatriculé C-FYAU. L'épandage nominal des lignes de vol était de 200 m et celui des lignes de contrôle de 1 200 m, alors que l'altitude nominale de levé était de 80 m au-dessus du sol et que la vitesse était de 200 à 270 km/h. Les lignes de vol étaient orientées à 067° et les lignes de contrôle leur étaient perpendiculaires. La trajectoire de vol a été restituée par application après le vol de corrections différentielles aux données brutes enregistrées avec un récepteur GPS.

Données de spectrométrie gamma
 Les mesures du rayonnement gamma ont été effectuées à l'aide d'un spectromètre gamma Exploranium GR820 utilisant dix (C-GFAY et C-FYAU) ou quatorze (C-GNCA) cristaux de NaI (Tl) de 102 x 102 x 400 mm. Le principal réseau de capteurs se composait de huit (C-GFAY et C-FYAU) ou douze (C-GNCA) cristaux (volume total de 33,6 et 50,4 litres respectivement). Deux cristaux (volume total de 8,4 litres), protégés par le réseau principal, ont été utilisés pour détecter les variations du rayonnement naturel causées par le radon atmosphérique. Le dispositif permettait de faire un suivi constant des pics du thorium pour chacun des cristaux et, au moyen d'un algorithme d'ajustement gaussien par la méthode des moindres carrés, de compenser le gain pour chacun des cristaux.

Le potassium est mesuré directement à partir des photons gamma émis par le K^{40} , tandis que l'uranium et le thorium sont mesurés indirectement à partir des photons gamma émis par des produits de fission (Bi^{214} pour l'uranium et Pb^{214} pour le thorium). Bien que ces radionucléides de fission se trouvent loin dans leur chaîne respective de désintégration, on presume qu'ils sont en équilibre avec leur radionucléide père; ainsi, les mesures spectrométriques du rayonnement gamma de l'uranium et du thorium sont désignées comme des équivalents d'uranium et des équivalents de thorium, soit eU et eTh. Les plages d'énergie utilisées pour mesurer le potassium, l'uranium et le thorium sont respectivement : de 1 370 à 1 570 keV, de 1 660 à 1 860 keV et de 2 410 à 2 610 keV.

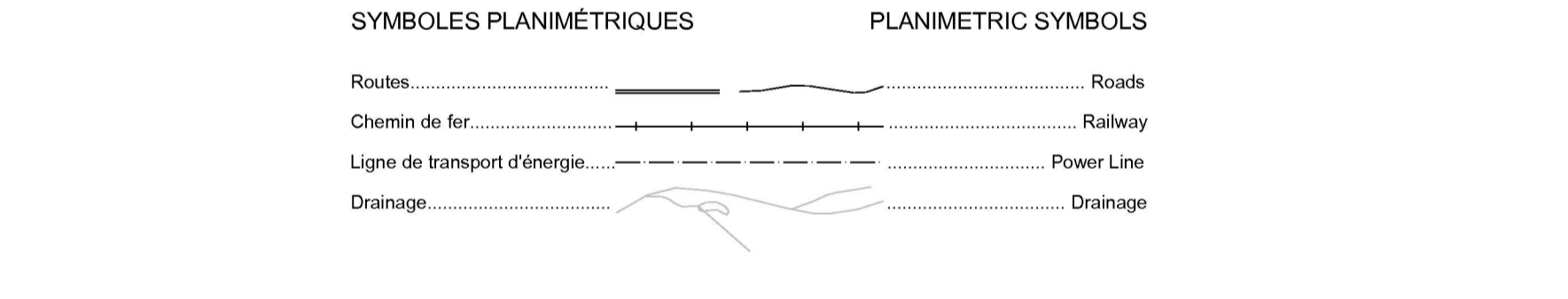
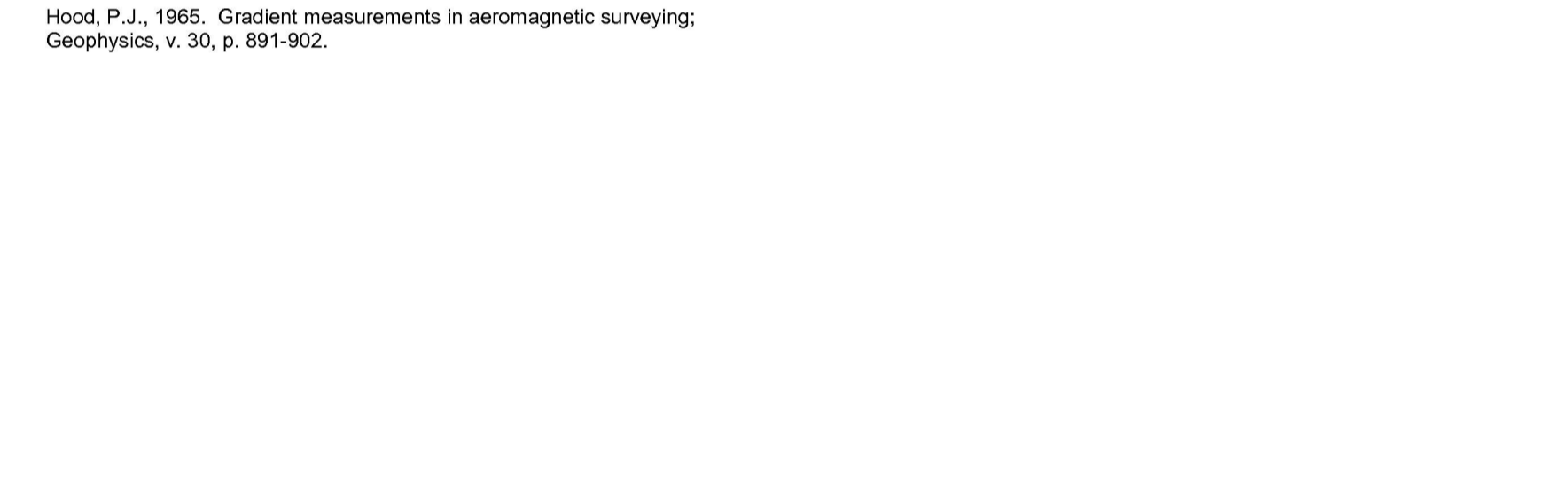
Les spectres du rayonnement gamma ont été enregistrés pendant des intervalles d'une seconde. Pendant le traitement, les spectres ont été soumis à un épandage énergétique et les coups ont été cumulés dans les plages décrites ci-dessus. Les coups obtenus à l'aide des capteurs de radon ont été enregistrés dans la plage de 1 660 à 1 860 keV et les rayonnements supérieurs à 2 000 keV ont été enregistrés dans la plage du rayonnement cosmique. Les coups enregistrés dans les plages ont été corrigés pour tenir compte du temps mort, du rayonnement de fond dû au rayonnement cosmique, de la radioactivité de l'aéronef et des produits de désintégration du radon atmosphérique. Les données pour les plages ont ensuite été corrigées pour tenir compte de la diffusion spectrale dans le sol, l'air et les capteurs. Les corrections pour les écarts à la hauteur de vol prévue et les variations de température et de pression ont été effectuées avant la conversion en concentrations équivalentes au sol du potassium, de l'uranium et du thorium, en utilisant des facteurs déterminés par une comparaison avec des résultats obtenus au-dessus de vols effectués au-dessus d'une bande d'épandage à Breckenridge, Québec. Les facteurs déterminés pour le potassium, l'uranium et le thorium étaient respectivement de 137,63 cpsppm, 16,60 cpsppm, et 7,57 cpsppm pour C-GNCA; 79,86 cpsp%, 7,32 cpsppm, et 4,18 cpsppm pour C-FYAU; et 4,92 cpsppm pour C-GFAY.

Un filtre a été appliqué aux données corrigées, qui ont ensuite été interpolées suivant une grille à maille de 50 m. Les résultats d'un levé aérien de spectrométrie gamma représentent les concentrations moyennes des éléments à la surface, lesquelles sont influencées par la proportion relative de l'épaisseur des affaissements, du relief, de la couverture végétale et d'eau de surface. Par conséquent, les concentrations mesurées sont habituellement plus faibles que les concentrations réelles dans le substratum rocheux. Le débit total de la dose absorbée par l'air, en nanograys à l'heure, a été déterminé d'après les coups mesurés dans la plage de 400 à 2 610 keV.

Données sur le champ magnétique
 Le champ magnétique a été échantillonné 10 fois par seconde à l'aide d'un magnétomètre à vapeur de césium à faisceau partagé (sensibilité = 0,005 nT) rigidement fixé à l'aéronef. Les différences de valeur du champ magnétique aux intersections des lignes de contrôle et des lignes de levé ont été analysées par ordinateur afin d'obtenir un jeu de données sur le champ magnétique mutuellement nivelées sur les lignes de vol. Ces valeurs nivelées ont ensuite été interpolées suivant une grille à maille de 50 m. Le champ magnétique international de référence (International Geomagnetic Reference Field, IGRF) défini à l'altitude moyenne de 632 m au-dessus de la mer fournie par les données GPS pour l'année 2009,5 a été soustrait. La soustraction de l'IGRF, qui représente le champ magnétique du noyau terrestre, fournit une composante résiduelle essentiellement reliée à la magnétisation de l'écorce terrestre.

La dérivée première verticale du champ magnétique représente le taux auquel varie le champ magnétique suivant la verticale. Le calcul de la dérivée première verticale supprime les composantes de grande longueur d'onde du champ magnétique et améliore considérablement la résolution des anomalies dérivées des unes des autres ou superposées. L'une des propriétés des cartes de la dérivée première verticale est la coïncidence de l'isogramme de valeur zéro et des contacts verticaux aux hautes latitudes magnétiques (Hood, 1965).

References
 Hood, P.J., 1965. Gradient measurements in aeromagnetic surveying. *Geophysics*, v. 30, p. 891-902.



This airborne geophysical survey and the production of this map were funded by the Geomapping for Energy and Minerals (GEM) Program of the Earth Sciences Sector, Natural Resources Canada.
 Ce levé aérien et la production de cette carte ont été financés par le programme de Géomatographie de l'énergie et des minéraux (GEM) du Secteur des sciences de la Terre, Ressources naturelles Canada.

GSC OPEN FILE 6333 / DOSSIER PUBLIC 6333 DE LA CGC
 NEWFOUNDLAND AND LABRADOR DEPARTMENT OF NATURAL RESOURCES, GEOLOGICAL SURVEY OPEN FILE 023J/09/0361

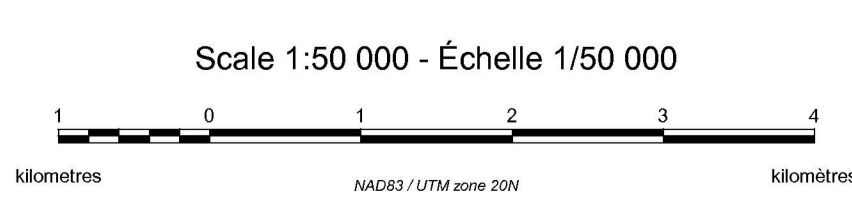
GEOPHYSICAL SERIES / SÉRIE DES CARTES GÉOPHYSIQUES
 NTS 23 J/9 / SNRC 23 J/9

LAKE ATTIKAMAGEN GEOPHYSICAL SURVEY SCHEFFERVILLE REGION
 LEVÉ GÉOPHYSIQUE DU LAC ATTIKAMAGEN RÉGION DE SCHEFFERVILLE

URANIUM

Authors: R. Dumont, R. Fortin, S. Hefford and F. Dostaler
 Data acquisition, compilation and map production by Fugro Airborne Surveys, Ottawa, Ontario. Contract and project management by the Geological Survey of Canada, Ottawa, Ontario.

Auteurs: R. Dumont, R. Fortin, S. Hefford et F. Dostaler
 L'acquisition, la compilation des données ainsi que la production des cartes furent effectuées par Fugro Airborne Surveys, Ottawa, Ontario. Le gestion et la supervision du projet furent effectuées par la Commission géologique du Canada, Ottawa, Ontario.



MAP SHEET SUMMARY / SOMMAIRE DES FEUILLETS

GSC Sheet / MAF / CARTE	MAP / CARTE
1. Natural Air Absorption Dose Rate / Taux d'absorption naturelle des rayons gamma dans l'air	
2. Potassium	
3. Uranium	
4. Thorium	
5. Uranium / Thorium	
6. Uranium / Potassium	
7. Thorium / Potassium	
8. Terrain Readout Map / Diagramme terrain des altitudes	
9. Residual Total Magnetic Field / Composante résiduelle du champ magnétique total	
10. First Vertical Derivative of the Magnetic Field / Dérivée première verticale du champ magnétique	

OPEN FILE DOSSIER PUBLIC 6333

Open File products that have passed through the GSC formal publication process.
 Les dossiers publics qui ont été publiés par la CGC.

Geological Survey of Canada / Commission géologique du Canada
 2010

SHEET 3 OF 10 / FEUILLET 3 DE 10

Newfoundland and Labrador Department of Natural Resources, Geological Survey
 Open File 023J/09/0361 Sheet 3 of 10

Recommended citation:
 Dumont, R., Fortin, R., Hefford, S., Dostaler, F., 2010. Geophysical Series, NTS 23 J/9. Lake Attikamagen Geophysical Survey Schefferville Region. Geological Survey of Canada, Open File 6333. Newfoundland and Labrador Department of Natural Resources, Geological Survey, Open File 023J/09/0361, scale 1:50 000.

Notation bibliographique conseillée:
 Dumont, R., Fortin, R., Hefford, S., Dostaler, F., 2010. Levé géophysique du lac Attikamagen région de Schefferville. Commission géologique du Canada, Dossier public 6333. Newfoundland and Labrador Department of Natural Resources, Geological Survey, Open File 023J/09/0361, échelle 1:50 000.

MAP LOCATION - LOCALISATION DE LA CARTE